

LATITUDE Link™
ESPECIFICACIONES IDCO

Sistema LATITUDE Link™

Outdated version. Do not use.
Version überholt. Nicht verwenden.
Version obsolète. Ne pas utiliser.
Versión obsoleta. No utilizar.
Versione obsoleta. Non utilizzare.
Verouderde versie. Niet gebruiken.
Föråldrad version. Använd ej.
Παλιά έκδοση. Μην την χρησιμοποιείτε.
Versão obsoleta. Não utilize.
Forældet version. Må ikke anvendes.
Zastaralá verze. Nepoužívat.
Utdatert versjon. Skal ikke brukes.
Zastaraná verzia. Nepoužívať.
Elavult verzió. Ne használja!
Wersja nieaktualna. Nie używać.

Outdated version. Do not use.
Version überholt. Nicht verwenden.
Version obsolète. Ne pas utiliser.
Versión obsoleta. No utilizar.
Versione obsoleta. Non utilizzare.
Verouderde versie. Niet gebruiken.
Föråldrad version. Använd ej.
Παλιά έκδοση. Μην την χρησιμοποιείτε.
Versão obsoleta. Não utilize.
Forældet version. Må ikke anvendes.
Zastaralá verze. Nepoužívat.
Utdatert versjon. Skal ikke brukes.
Zastaraná verzia. Nepoužívať.
Elavult verzió. Ne használja!
Wersja nieaktualna. Nie używać.

TABLA DE CONTENIDOS

Perspectiva general	1
Especificaciones de mensajes IDCO	1
Estructura de un segmento	1
Estructura de un segmento MSH	1
Estructura de un segmento PID	2
Estructura de un segmento PV1	2
Estructura de un segmento OBR	2
Estructura de un segmento OBX	3
Estructura de un segmento NTE	3
Informe del dispositivo	3
Términos básicos	4
Conversión de datos del dispositivo implantado en mensajes IDCO	8
Estado de la batería	8
Tipo de sensor de parámetros de bradicardia	8
Mapeo de episodios	8
Mapeo del contador de episodios	9
Mapeo de configuración del cable	10
Limitaciones del sistema	11
Información de estado del dispositivo	11
Informes	11
Archivos de ejemplo de archivo IDCO	12

Outdated version. Do not use.
Version überholt. Nicht verwenden.
Version obsolète. Ne pas utiliser.
Versión obsoleta. No utilizar.
Versione obsoleta. Non utilizzare.
Verouderde versie. Niet gebruiken.
Föråldrad version. Använd ej.
Παλιά έκδοση. Μην την χρησιμοποιείτε.
Versão obsoleta. Não utilize.
Forældet version. Må ikke anvendes.
Zastaralá verze. Nepoužívat.
Utdatert versjon. Skal ikke brukes.
Zastaraná verzia. Nepoužívať.
Elavult verzió. Ne használja!
Wersja nieaktualna. Nie używać.

Perspectiva general

El sistema de monitorización remota de pacientes LATITUDE Link™ de Boston Scientific crea mensajes de Dispositivo implantable Cardíaco Observación (IDCO) de acuerdo con las especificaciones y definiciones publicadas en este documento. Estos mensajes cumplen con el perfil de Integrating the Healthcare Enterprise (IHE) Patient Care Device (PCD) Technical Framework IDCO y se utilizan para proporcionar datos del paciente al sistema de archivos médicos electrónicos (EMR).

Este documento está destinado a los clientes de Boston Scientific (BSC) que (1) integran mensajes IDCO en un EMR y que (2) utilizan sistemas EMR para el seguimiento y la gestión de los datos de los pacientes. La primera sección de este documento (“Especificaciones de los mensajes IDCO”) está destinada principalmente al personal técnico encargado de la integración de mensajes, mientras que la segunda sección está destinada esencialmente al médico, como una aclaración detallada de la versión de Boston Scientific de los datos incluidos en el mensaje.

NOTA: Se da por supuesto que los lectores de esta sección conocen la terminología HL7 e IDCO, la sintaxis de especificaciones, los tipos de datos, la estructura de los mensajes y la semántica de los mensajes IDCO. Para obtener más información, véase:

- www.hl7.org para mensajes HL7
- www.ihe.net para mensajes IDCO
- http://ihe.net/Technical_Framework/index.cfm#pcd for PCD-09 Technical Framework (compuesto por vol. 1, 2 y 3)
- <http://standards.ieee.org/findstds/standard/11073-10103-2012.html> para la nomenclatura IEEE IDCO

Especificaciones de mensajes IDCO

El mensaje IDCO es un mensaje PCD-09 conforme a IHE PCD Technical Framework Revision 3.0, October 11, 2013. Según el plan técnico, el mensaje es un mensaje de observaciones y peticiones no solicitado del estándar HL7 v2.6 que contiene observaciones extraídas del dispositivo implantado y codificadas mediante la nomenclatura ISO/IEEE 11073-10103:2014 IDC. Este estándar internacional describe un modelo universal para la interoperabilidad de datos médicos electrónicos.

Los valores indicados entre comillas en las columnas de valor de las tablas mostradas a continuación indican los valores preprogramados que aparecerán tal y como se muestra. Los valores sin comillas indican un ejemplo o una descripción del valor.

Estructura de un segmento

Todos los datos enviados son conformes a PCD-09. La información incluida en esta sección pretende definir los valores de salida de BSC para los mensajes IDCO. No es exhaustiva y no está prevista para definir con más detalle la nomenclatura IDCO.

Estructura de un segmento MSH

El segmento MSH contiene información acerca del remitente y destinatario del mensaje, el tipo de mensaje, un registro de fecha/hora, etc., y es el primer segmento de cada mensaje IDCO.

NOMBRE DEL ELEMENTO	SEC	SUB SEC	VALOR
Aplicación remitente	3		“LATITUDE Link”
Instalación remitente	4		“BOSTON SCIENTIFIC”
Instalación destinataria	6		Nombre de la clínica
Conjunto de caracteres	18		“UNICODE UTF-8”

Estructura de un segmento PID

El segmento PID contiene información identificadora del paciente como su nombre, códigos de identificación, código postal, etc. Esta información se utiliza para cotejar pacientes.

NOMBRE DEL ELEMENTO	SEC	SUB SEC	VALOR
ID de espacio de nombres	3	4	"BSX"

Estructura de un segmento PV1

El segmento PV1 (Visita del paciente) contiene información sobre el médico responsable del paciente.

NOMBRE DEL ELEMENTO	SEC	SUB SEC	VALOR
Clase de paciente	2		"R"

Estructura de un segmento OBR

Los segmentos OBR son los encabezados de sección para segmentos de información de interrogación OBX individuales. Contienen datos como registros de fecha/hora, identificadores de informes e identificadores exclusivos generados por el sistema.

NOMBRE DEL ELEMENTO	SEC	SUB SEC	VALOR COMO EJEMPLO
Identificador de servicio universal	4		
Identificador		1	754050
Texto		2	Véase la nota 1
N.º de fecha/hora de la observación	7		20060429080005 Véase la nota 2
Estado de resultados	25		"F" Véase la nota 3

OBR notas

1. Este texto de identificador de servicio universal tendrá el formato MDC_IDC_ENUM_SESS_TYPE_{tipo de sesión} (p. ej., MDC_IDC_ENUM_SESS_TYPE_InClinic).
2. La fecha/hora de la observación será el registro de la fecha/hora del momento en que se produjo la interrogación del dispositivo implantado. El registro de una interrogación en el centro será la hora proporcionada por el PRM.
3. El estado del resultado será "F" (resultados finales)

Estructura de un segmento OBX

Los segmentos OBX contienen datos recopilados durante la interrogación más reciente del dispositivo.

NOMBRE DEL ELEMENTO	SEC	SUB SEC	VALOR COMO EJEMPLO
Estado de resultados de la observación	11		"F" Véase la nota 1
Fecha/hora de la observación	14		20060317 Véase la nota 2

OBX notas

1. El estado del resultado será "F" (resultados finales).
2. La fecha de la medición se incluirá si la fecha de la medición es diferente de la fecha de la observación en OBR.

Parámetros de salida

- Las cadenas se enviarán en el idioma configurado.
- Los valores numéricos se enviarán siempre utilizando el punto "." como carácter separador (es decir, el punto decimal).

Estructura de un segmento NTE

- Dispositivos S-ICD
 - El primer NTE contendrá la información de parámetros en una etiqueta: *formato del valor* con cada parámetro separado por un salto de línea (\.br\). Ejemplo:
NTE|1||Configuración de detección: Primaria\.br\Ajuste de ganancia: 2X\.br\Estimulación posterior a la descarga: ON
 - Si hay información del estado del dispositivo, todos los estados del dispositivo estará en el segundo NTE. Ejemplo:
NTE|2||El dispositivo necesita servicio inmediatamente.\.br\.\.br\Comuníquese con Boston Scientific - BD.\.br\.\.br\Américas: 1.800.CARDIAC (227.3422) o +1.651.582.4000\.br\Europa, Medio Oriente, África: +32 2 416 7222\.br\Asiático-Pacífico: +61 2 8063 8299
- Todos los demás dispositivos:
 - Si hay información del estado del dispositivo, habrá un NTE para cada estado de dispositivo.

Informe del dispositivo

- Es posible que se incluya un solo PDF con uno o más informes del dispositivo en un solo OBX.

Términos básicos

La siguiente tabla presenta los términos de nomenclatura que se pueden incluir en un mensaje IDCO de BSC.

MDC_IDC_DEV PREPEND	Dispositivo cardiaco implantable
_TYPE	Tipo
_MODEL	Modelo
_SERIAL	Número de serie
_MFG	Fabricante
_IMPLANT_DT	Fecha del implante
MDC_IDC_LEAD PREPEND	Atributos de cable implantable
_MODEL	Modelo
_SERIAL	Número de serie
_MFG	Fabricante
_IMPLANT_DT	Fecha del implante
_POLARITY_TYPE	Tipo de polaridad
_LOCATION	Ubicación
_LOCATION_DETAIL_1	Detalle de ubicación 1
MDC_IDC_SESS PREPEND	Sesión de interrogación
_DTM	Fecha y hora de sesión de interrogación
_TYPE	Tipo de sesión de interrogación
_CLINIC_NAME	Nombre de la clínica
_CLINICIAN_CONTACT_INFORMATION	Información de contacto del clínico
MDC_IDC_MSMT PREPEND	Mediciones
_BATTERY	Mediciones de batería
_DTM	Fecha y hora de medidas
_BATTERY_STATUS	Estado
_BATTERY_REMAINING_LONGEVITY	Longevidad restante
_BATTERY_REMAINING_PERCENTAGE	Porcentaje restante
_CAP	Mediciones
_CHARGE_DTM	Fecha y hora de última carga
_CHARGE_TIME	Tiempo de carga
_CHARGE_TYPE	Tipo de carga
_CHARGE_ENERGY	Energía de carga
LEADCHNL[CHAMBER]	Mediciones de canales de cables
DTM[STRTEND]	Fecha y hora de mediciones
_LEAD_CHANNEL_STATUS	Estado

MDC_IDC_MSMT PREPEND	Mediciones
LEADCHNL[CHAMBER]_SENSING	Medidas de detección de canales de cables
_INTR_AMPL_[MMM]	Amplitud intrínseca de detección
_POLARITY	Polaridad de detección
LEADCHNL[CHAMBER]_PACING_THRESHOLD	Medidas de umbral de estimulación de canales de cables
_AMPLITUDE	Amplitud
_PULSEWIDTH	Ancho impulso
_MEASUREMENT_METHOD	Método de medida
_POLARITY	Polaridad
LEADCHNL[CHAMBER]_IMPEDANCE	Medidas de impedancia de canales de cables
_VALUE	Valor
_POLARITY	Polaridad
_LEADHVCHNL	Medidas de canales de alto voltaje de cables
DTM[STRT]	Fecha y hora
_IMPEDANCE	Impedancia
_MEASUREMENT_TYPE	Tipo de medida
_STATUS	Status
MDC_IDC_SET PREPEND	Parámetros
_CRT	Parámetros TRC
_LVRV_DELAY	Retardo VI-VD
_PACED_CHAMBERS	Cámaras ventriculares estimuladas durante estimulación de TRC
LEADCHNL[CHAMBER]_SENSING	Parámetros de canales de cables
_SENSITIVITY	Sensibilidad
_POLARITY	Polaridad
_ANODE_LOCATION_[1..3]	Ubicación del ánodo
_ANODE_ELECTRODE_[1..3]	Terminal del ánodo
_CATHODE_LOCATION_[1..3]	Ubicación del cátodo
_CATHODE_ELECTRODE_[1..3]	Terminal del cátodo
_ADAPTATION_MODE	Modo de adaptación
LEADCHNL[CHAMBER]_PACING	Estimulación de parámetros de canales de cables
_AMPLITUDE	Amplitud
_PULSEWIDTH	Ancho impulso
_PACING_POLARITY	Polaridad
_ANODE_LOCATION_[1..3]	Ubicación del ánodo
_ANODE_ELECTRODE_[1..3]	Terminal del ánodo

LEADCHNL[CHAMBER]_PACING	Estimulación de parámetros de canales de cables
_CATHODE_LOCATION_[1..3]	Ubicación del cátodo
_CATHODE_ELECTRODE_[1..3]	Terminal del cátodo
_CAPTURE_MODE	Modo de captura
_BRADY	Parámetros de bradicardia
_MODE	Modo (código NBG)
_LOWRATE	Límite inferior de frecuencia
_SENSOR_TYPE	Tipo de sensor
_MAX_TRACKING_RATE	Límite superior de frecuencia
_MAX_SENSOR_RATE	Frecuencia máxima sensor
_SAV_DELAY_[HIGHLOW]	Retardo SAV
_PAV_DELAY_[HIGHLOW]	Retardo PAV
_AT_MODE_SWITCH_MODE	Modo del cambio de modo de TA
_AT_MODE_SWITCH_RATE	Frecuencia del cambio de modo de TA
_TACHYTHERAPY	Parámetros de la terapia taquí
_VSTAT	Estado ventricular
_ZONE	Parámetros de zona
_TYPE	Categoría de tipo
_VENDOR_TYPE	Categoría de tipo de proveedor
_STATUS	Estado
_DETECTION_INTERVAL	Intervalo de detección
_DETECTION_DETAILS	Detalles de la detección
_TYPE_ATP_[1..10]	Tipo de ATP
_NUM_ATP_SEQS_[1..10]	Número de secuencias ATP
_SHOCK_ENERGY_[1..10]	Energía de descarga
_NUM_SHOCKS_[1..10]	Número de descargas
MDC_IDC_STAT PREPEND	Estadísticas
DTM[STRTEEND]	Fecha y hora de la estadística
_AT	Estadística de Taquí Auricular
DTM[STRTEEND]	Fecha y hora
_BURDEN_PERCENT	Porcentaje de carga de TA/FA
_BRADY	Estadísticas de bradicardia
DTM[STRTEEND]	Fecha y hora
_RA_PERCENT_PACED	% estimulación AD
_BRADY_RV_PERCENT_PACED	Porcentaje de estimulación VD

_CRT	Estadísticas de TRC
DTM[STRTEEND]	Fecha y hora
_LV_PERCENT_PACED	Porcentaje estimulación VI
MDC_IDC_STAT PREPEND	Estadísticas
_TACHYTHERAPY	Estadísticas de terapia taqui
_SHOCKS_DELIVERED_RECENT	Descargas administradas recientemente
_RECENT_DTM_[STRTEEND]	Fecha y hora recientes
_SHOCKS_DELIVERED_TOTAL	Total de descargas administradas
_TOTAL_DTM_[STRTEEND]	Fecha y hora totales
_SHOCKS_ABORTED_RECENT	Descargas recientemente anuladas
_SHOCKS_ABORTED_TOTAL	Total de descargas anuladas
_ATP_DELIVERED_RECENT	ATP suministrado reciente
_ATP_DELIVERED_TOTAL	Total de ATP suministrado
_EPISODE	Estadísticas de episodios
_TYPE	Categoría de tipo
_TYPE_INDUCED	Tipo inducido
_VENDOR_TYPE	Categoría de tipo de proveedor
_RECENT_COUNT	Conteo reciente
RECENT_COUNT_DTM_[STRTEEND]	Fecha y hora recientes
_TOTAL_COUNT	Conteo total
_TOTAL_COUNT_DTM_[STRTEEND]	Fecha y hora totales
PREPEND MDC_IDC_EPISODE	Episodio
_ID	Identificador
_DTM	Fecha y hora
_TYPE	Categoría de tipo
_TYPE_INDUCED	Bandera inducida de tipo
_VENDOR_TYPE	Categoría de tipo de proveedor
_ATRIAL_INTERVAL_AT_DETECTION	Intervalo auricular de detección
_VENTRICULAR_INTERVAL_AT_DETECTION	Intervalo ventricular de detección
_DETECTION_THERAPY_DETAILS	Detección y detalles de la terapia
_DURATION	Duración

Conversión de datos del dispositivo implantado en mensajes IDCO

Estado de la batería

Enumeraciones para el mapa de parámetros de batería para el estado de batería de BSC según se detalla a continuación:

ESTADO DE LA BATERÍA BSC (dispositivos S-ICD)	ESTADO DE LA BATERÍA BSC (demás dispositivos)	ESTADO DE LA BATERÍA DE IDCO
>10% restante para ERI	BOL	BOS
<= 10% restante para ERI	OY	MESES
ERI	ERI	RRT
EOL	EOL	EOS

Tipo de sensor de parámetros de bradicardia

El tipo de sensor de bradicardia se enviará como se muestra en la tabla a continuación.

VALOR ENVIADO PARA LA VARIABLE SET_BRADY_SENSOR_TYPE SEGÚN LA CONFIGURACIÓN DEL DISPOSITIVO IMPLANTADO	PARÁMETROS DEL DISPOSITIVO IMPLANTADO
"Acelerómetro"	Solo acelerómetro
"Ventilación minuto"	Solo VM
"Acelerómetro + VM"	Acelerómetro y VM

Los valores anteriores se enviarán si la frecuencia se genera por el sensor (ej., no se enviarán si el sensor tiene un estado de solo monitorización).

Los valores anteriores se enviarán si la frecuencia se genera en el modo de bradicardia normal o en RTA (ej., el valor no se corresponde con el modo de bradicardia normal).

Tenga en cuenta que "Solo RTA" se puede mostrar en informes cuando el modo RTA sea un modo que responde a la frecuencia y el modo de bradicardia normal no responda a la frecuencia. En dicho caso, el texto (por ejemplo "Acelerómetro") se enviará al modo RTA. El usuario puede observar el modo bradicardia y el modo RTA, y determinar que la respuesta de frecuencia sea solo RTA.

Mapeo de episodios

Los episodios, contadores, etc., se enviarán en relación con la información que se incluye en la interrogación. Se enviará la misma información inicialmente y en un reenvío posterior aunque haya otras interrogaciones en medio de ambas. Los episodios se representan mediante una combinación de tipos específicos del proveedor y normativos. Algunos tipos de episodios de Boston Scientific no se pueden representar únicamente en la nomenclatura IDCO actual.

ID DE EPISODIO DE BSC	TIPO DE EPISODIO DE BSC	TIPO DE EPISODIO NORMATIVO IDCO	TIPO DE EPISODIO ESPECÍFICO DEL PROVEEDOR IDCO
<número de episodio>	Tratado	FV	BSX-Zone_VF
<número de episodio>	No tratado	Otro	Véase la Nota 1

Nota 1: El OBX de tipo de episodio específico del proveedor se encontrará en el mensaje con el valor de observación en blanco.

Mapeo del contador de episodios

Los contadores de episodios se representan mediante una combinación de tipos específicos del proveedor y normativos. Algunos contadores de episodios de Boston Scientific no se pueden representar únicamente en la nomenclatura IDCO actual. Los valores del contador enviados incluirán los valores desde el último seguimiento y desde el implante.

CONTADOR DE EPISODIOS DE BSC	TIPO DE EPISODIO NORMATIVO ESTADÍSTICO IDCO	TIPO DE EPISODIO ESPECÍFICO DEL PROVEEDOR ESTADÍSTICO IDCO
Tratado	FV	BSX-Epis_VF
No tratado	Otro	Véase la Nota 1
TV (V>A)	TV	BSX-Epis_VT
Taqui	TV	BSX-Epis_VT
NonSust	TV	BSX-Epis_NSVT
VNoSost	TV	BSX-Epis_NSVT
TSV (V≤A)	TSV	BSX-Epis_SVT
RTA	TA/FA	BSX-Epis_ATR
IRM	Otro	Ninguna
FV	FV	BSX-Epis_VF
TV	TV	BSX-Epis_VT
TV-1	TV	BSX-Epis_VT-1
Ninguna terapia programada	Monitorización	Ninguna
Otros episodios no tratados	Otro	Ninguna

Nota 1: El OBX de estado del contador específico del proveedor se encontrará en el mensaje con el valor de observación en blanco.

Mapeo de configuración del cable

La siguiente tabla muestra cómo IDCO y BSC definen cables con múltiples electrodos. Esta tabla no pretende ser exhaustiva, sino que tan solo incluye enumeraciones que quizás no sean obvias.

Las definiciones que utiliza BSC están diseñadas para ser coherentes con el Programador/Registrador/Monitor (PRM) y el sitio web de LATITUDE.

NOMBRE DE ELECTRODO DE BSC	UBICACIÓN DEL ELECTRODO DE IDCO	NOMBRE DEL ELECTRODO DE IDCO
Can	Otra	Can
PuntVI1	VI	Punta
AnilVI2	VI	Anillo1
AnilVI3	VI	Anillo2
AnilVI4	VI	Anillo3

MDC_IDC_ENUM_ELECTRODE_LOCATION (ubicación de ánodo/cátodo de estimulación/detección) no incluye actualmente una enumeración para la bolsa (esto es, can). La ubicación se enviará como "otra" y el electrodo como "can."

Un estado "Compruebe Cable" indica un posible problema con el cable; sin embargo, la ausencia de un estado "compruebe el cable" no indica que el cable funcione correctamente. Se enviará un estado "Compruebe Cable" si se presentan alguno de los siguientes indicadores:

- Dispositivos S-ICD
 - Impedancia de electrodo alta
- Todos los demás dispositivos:
 - Cambio de polaridad electrodos
 - Impedancia fuera de rango
 - Amplitud fuera de rango
 - Impedancia de descarga baja
 - Impedancia de descarga alta
 - Alto voltaje durante la carga
 - Umbral automático en suspensión o umbral superior al programado

Para MSMT_LEADCHNL_[CHAMBER] (esto es, medidas de canales de cables como la amplitud intrínseca, la impedancia del cable o el umbral de estimulación), solo es posible un registro de fecha/hora para todas las medidas (es decir, no un rango por medida) en la nomenclatura IDCO actual. Si las horas de las mediciones son diferentes, se enviará un rango de registro de fecha/hora (ej., MIN o MAX) que incluye la hora de todas las mediciones. Además, los valores que se enviarán serán un valor de IDCO MEAN según la nomenclatura IDCO. No obstante, los valores son mediciones únicas y no son valores de media con respecto al rango de registro de fecha/hora.

Limitaciones del sistema

- La nomenclatura IDCO no define todos los datos disponibles en el dispositivo implantable. Algunos datos identificables pueden enviarse mediante la representación más cercana disponible en IDCO. Por ejemplo:
 - La información de zona TV se envía como si los dispositivos bradi tuviesen una zona TV.
 - En el caso de los dispositivos S-ICD, la zona de descarga se envía como zona FV y la zona de descarga condicional se envía como zona TV.
 - Las medidas del cable que contiene el mensaje incluirán las medidas según la siguiente prioridad:
 1. Medida en el consultorio
 2. Medidas diarias más recientes
 3. Medida de PSDO
- La elaboración adecuada de informes sobre datos de dispositivos implantados y notificaciones de estado del dispositivo depende del reloj del dispositivo implantado que se programa con precisión con un Programador. La elaboración adecuada de informes puede seguir influida durante algún tiempo tras programar correctamente el reloj del dispositivo implantado en función de la cantidad de datos recibidos con información de tiempo no precisa y la diferencia temporal del error en el reloj del dispositivo implantado.
- Las cadenas se enviarán en el idioma configurado para la clínica.

Información de estado del dispositivo

La información de estado del dispositivo del GI se incluye en el mensaje como notas que se pueden mostrar o no en un EMR.

Informes

Informe del dispositivo

Es posible que se incluya un solo PDF con uno o más informes del dispositivo en el mensaje en función de la configuración dentro de la aplicación LATITUDE Link.

Archivos de ejemplo de archivo IDCO

Los siguientes ejemplos de archivo IDCO muestran el aspecto que podría tener un mensaje IDCO de Boston Scientific. Estos son solamente dos ejemplos de los numerosos resultados posibles. Los datos de los mensajes de ejemplo son hipotéticos y no están representados todos los términos de IDCO.

Ejemplo de mensaje 1: dispositivo S-ICD

```
MSH|^~\&|LATITUDE Link|BOSTON SCIENTIFIC||Clinic
Name|201407151441+0000||ORU^R01^ORU_R01|26000320140715144112|P|2.6|||||UNICODE UTF-
8|es^Spanish||IHE_PCD_009^IHE_PCD^1.3.6.1.4.1.19376.1.6.1.9.1^ISO
PID|1||model:1010/serial:474^^^BSX^U||Smith^John||U
PV1|1|R
OBR|1||G21234|754050^MDC_IDC_ENUM_SESS_TYPE_InClinic^MDC|||201311260000-
0600|||||||||||||F
NTE|1||Configuración de detección<: Alternativa\br\Ajuste de ganancia:
1X\br\Estimulación posterior a la descarga: ON
NTE|2||El dispositivo necesita servicio inmediatamente.\br\\\br\Comuníquese con
Boston Scientific - BD.\br\\\br\Américas: 1.800.CARDIAC (227.3422) o
+1.651.582.4000\br\Europa, Medio Oriente, África: +32 2 416 7222\br\Asiático-
Pacífico: +61 2 8063 8299
OBX|1|DTM|721025^MDC_IDC_SESS_DTM^MDC||201311260000-0600|||||F
OBX|2|CWE|721026^MDC_IDC_SESS_TYPE^MDC||754050^MDC_IDC_ENUM_SESS_TYPE_InClinic^MDC|||
||F
OBX|3|ST|721031^MDC_IDC_SESS_CLINICIAN_NAME^MDC||Dr. No|||||F
OBX|4|ST|721032^MDC_IDC_SESS_CLINICIAN_CONTACT_INFORMATION^MDC||1-800-CARDIAC|||||F
OBX|5|DTM|721216^MDC_IDC_MSMT_BATTERY_DTM^MDC||201311260000-0600|||||F
OBX|6|CWE|721280^MDC_IDC_MSMT_BATTERY_STATUS^MDC||754113^MDC_IDC_ENUM_BATTERY_STATUS_B
OS^MDC|||||F
OBX|7|NM|721536^MDC_IDC_MSMT_BATTERY_REMAINING_PERCENTAGE^MDC||48%|||F
OBX|8|ST|739536^MDC_IDC_EPISODE_ID^MDC||1|0|||||F
OBX|9|DTM|739552^MDC_IDC_EPISODE_DTM^MDC||20131026082822|||||F
OBX|10|CWE|739568^MDC_IDC_EPISODE_TYPE^MDC||1|754888^MDC_IDC_ENUM_EPISODE_TYPE_Epis_Oth
er^MDC|||||F
OBX|11|CWE|739600^MDC_IDC_EPISODE_VENDOR_TYPE^MDC||1|||F
OBX|12|CWE|739584^MDC_IDC_EPISODE_TYPE_INDUCED^MDC||1|755330^MDC_IDC_ENUM_EPISODE_TYPE_
INDUCED_NO^MDC|||||F
OBX|13|NM|739712^MDC_IDC_EPISODE_DURATION^MDC||1|168430090|s|||||F
OBX|14|ST|739680^MDC_IDC_EPISODE_DETECTION_THERAPY_DETAILS^MDC||1|EPISODIO NO
TRATADO|||||F
OBX|15|ST|739536^MDC_IDC_EPISODE_ID^MDC||2|1|||||F
OBX|16|DTM|739552^MDC_IDC_EPISODE_DTM^MDC||2|20131026082822|||||F
OBX|17|CWE|739568^MDC_IDC_EPISODE_TYPE^MDC||2|754881^MDC_IDC_ENUM_EPISODE_TYPE_Epis_VF^
MDC|||||F
OBX|18|CWE|739600^MDC_IDC_EPISODE_VENDOR_TYPE^MDC||2|771073^MDC_IDC_ENUM_EPISODE_VENDOR
_TYPE_BSX-Epis_VF^MDC|||||F
OBX|19|CWE|739584^MDC_IDC_EPISODE_TYPE_INDUCED^MDC||2|755330^MDC_IDC_ENUM_EPISODE_TYPE_
INDUCED_NO^MDC|||||F
OBX|20|NM|739712^MDC_IDC_EPISODE_DURATION^MDC||2|168430090|s|||||F
OBX|21|ST|739680^MDC_IDC_EPISODE_DETECTION_THERAPY_DETAILS^MDC||2|EPISODIO TRATADO:
IMPEDANCIA DE DESCARGA= Fuera de límites POLARIDAD DE DESCARGA FINAL= STD|||||F
OBX|22|ST|739536^MDC_IDC_EPISODE_ID^MDC||3|2|||||F
OBX|23|DTM|739552^MDC_IDC_EPISODE_DTM^MDC||3|20131026082822|||||F
OBX|24|CWE|739568^MDC_IDC_EPISODE_TYPE^MDC||3|754881^MDC_IDC_ENUM_EPISODE_TYPE_Epis_VF^
MDC|||||F
OBX|25|CWE|739600^MDC_IDC_EPISODE_VENDOR_TYPE^MDC||3|771073^MDC_IDC_ENUM_EPISODE_VENDOR
_TYPE_BSX-Epis_VF^MDC|||||F
OBX|26|CWE|739584^MDC_IDC_EPISODE_TYPE_INDUCED^MDC||3|755330^MDC_IDC_ENUM_EPISODE_TYPE_
INDUCED_NO^MDC|||||F
OBX|27|NM|739712^MDC_IDC_EPISODE_DURATION^MDC||3|168430090|s|||||F
```


OBX|28|ST|739680^MDC_IDC_EPISODE_DETECTION_THERAPY_DETAILS^MDC|3|EPISODIO TRATADO:
IMPEDANCIA DE DESCARGA= 138 Ohmios POLARIDAD DE DESCARGA FINAL= REV|||||F
OBX|29|ST|739536^MDC_IDC_EPISODE_ID^MDC|4|3|||||F
OBX|30|DTM|739552^MDC_IDC_EPISODE_DTM^MDC|4|20131026082822|||||F
OBX|31|CWE|739568^MDC_IDC_EPISODE_TYPE^MDC|4|754888^MDC_IDC_ENUM_EPISODE_TYPE_Epis_Oth
er^MDC|||||F
OBX|32|CWE|739600^MDC_IDC_EPISODE_VENDOR_TYPE^MDC|4|||||F
OBX|33|CWE|739584^MDC_IDC_EPISODE_TYPE_INDUCED^MDC|4|755330^MDC_IDC_ENUM_EPISODE_TYPE_
INDUCED_NO^MDC|||||F
OBX|34|NM|739712^MDC_IDC_EPISODE_DURATION^MDC|4|168430090|s|||||F
OBX|35|ST|739680^MDC_IDC_EPISODE_DETECTION_THERAPY_DETAILS^MDC|4|EPISODIO NO
TRATADO|||||F
OBX|36|ST|739536^MDC_IDC_EPISODE_ID^MDC|5|4|||||F
OBX|37|DTM|739552^MDC_IDC_EPISODE_DTM^MDC|5|20131026082822|||||F
OBX|38|CWE|739568^MDC_IDC_EPISODE_TYPE^MDC|5|754888^MDC_IDC_ENUM_EPISODE_TYPE_Epis_Oth
er^MDC|||||F
OBX|39|CWE|739600^MDC_IDC_EPISODE_VENDOR_TYPE^MDC|5|||||F
OBX|40|CWE|739584^MDC_IDC_EPISODE_TYPE_INDUCED^MDC|5|755330^MDC_IDC_ENUM_EPISODE_TYPE_
INDUCED_NO^MDC|||||F
OBX|41|NM|739712^MDC_IDC_EPISODE_DURATION^MDC|5|168430090|s|||||F
OBX|42|ST|739680^MDC_IDC_EPISODE_DETECTION_THERAPY_DETAILS^MDC|5|EPISODIO NO
TRATADO|||||F
OBX|43|ST|739536^MDC_IDC_EPISODE_ID^MDC|6|5|||||F
OBX|44|DTM|739552^MDC_IDC_EPISODE_DTM^MDC|6|20131026082822|||||F
OBX|45|CWE|739568^MDC_IDC_EPISODE_TYPE^MDC|6|754888^MDC_IDC_ENUM_EPISODE_TYPE_Epis_Oth
er^MDC|||||F
OBX|46|CWE|739600^MDC_IDC_EPISODE_VENDOR_TYPE^MDC|6|||||F
OBX|47|CWE|739584^MDC_IDC_EPISODE_TYPE_INDUCED^MDC|6|755330^MDC_IDC_ENUM_EPISODE_TYPE_
INDUCED_NO^MDC|||||F
OBX|48|NM|739712^MDC_IDC_EPISODE_DURATION^MDC|6|168430090|s|||||F
OBX|49|ST|739680^MDC_IDC_EPISODE_DETECTION_THERAPY_DETAILS^MDC|6|EPISODIO NO
TRATADO|||||F
OBX|50|ST|739536^MDC_IDC_EPISODE_ID^MDC|7|6|||||F
OBX|51|DTM|739552^MDC_IDC_EPISODE_DTM^MDC|7|20131026082822|||||F
OBX|52|CWE|739568^MDC_IDC_EPISODE_TYPE^MDC|7|754888^MDC_IDC_ENUM_EPISODE_TYPE_Epis_Oth
er^MDC|||||F
OBX|53|CWE|739600^MDC_IDC_EPISODE_VENDOR_TYPE^MDC|7|||||F
OBX|54|CWE|739584^MDC_IDC_EPISODE_TYPE_INDUCED^MDC|7|755330^MDC_IDC_ENUM_EPISODE_TYPE_
INDUCED_NO^MDC|||||F
OBX|55|NM|739712^MDC_IDC_EPISODE_DURATION^MDC|7|168430090|s|||||F
OBX|56|ST|739680^MDC_IDC_EPISODE_DETECTION_THERAPY_DETAILS^MDC|7|EPISODIO NO
TRATADO|||||F
OBX|57|ST|739536^MDC_IDC_EPISODE_ID^MDC|8|7|||||F
OBX|58|DTM|739552^MDC_IDC_EPISODE_DTM^MDC|8|20131026082822|||||F
OBX|59|CWE|739568^MDC_IDC_EPISODE_TYPE^MDC|8|754888^MDC_IDC_ENUM_EPISODE_TYPE_Epis_Oth
er^MDC|||||F
OBX|60|CWE|739600^MDC_IDC_EPISODE_VENDOR_TYPE^MDC|8|||||F
OBX|61|CWE|739584^MDC_IDC_EPISODE_TYPE_INDUCED^MDC|8|755330^MDC_IDC_ENUM_EPISODE_TYPE_
INDUCED_NO^MDC|||||F
OBX|62|NM|739712^MDC_IDC_EPISODE_DURATION^MDC|8|168430090|s|||||F
OBX|63|ST|739680^MDC_IDC_EPISODE_DETECTION_THERAPY_DETAILS^MDC|8|EPISODIO NO
TRATADO|||||F
OBX|64|ST|739536^MDC_IDC_EPISODE_ID^MDC|9|8|||||F
OBX|65|DTM|739552^MDC_IDC_EPISODE_DTM^MDC|9|20131026082822|||||F
OBX|66|CWE|739568^MDC_IDC_EPISODE_TYPE^MDC|9|754888^MDC_IDC_ENUM_EPISODE_TYPE_Epis_Oth
er^MDC|||||F
OBX|67|CWE|739600^MDC_IDC_EPISODE_VENDOR_TYPE^MDC|9|||||F
OBX|68|CWE|739584^MDC_IDC_EPISODE_TYPE_INDUCED^MDC|9|755330^MDC_IDC_ENUM_EPISODE_TYPE_
INDUCED_NO^MDC|||||F
OBX|69|NM|739712^MDC_IDC_EPISODE_DURATION^MDC|9|168430090|s|||||F
OBX|70|ST|739680^MDC_IDC_EPISODE_DETECTION_THERAPY_DETAILS^MDC|9|EPISODIO NO
TRATADO|||||F

OBX|71|CWE|737952^MDC_IDC_STAT_EPISODE_TYPE^MDC|1|754888^MDC_IDC_ENUM_EPISODE_TYPE_Epi
 s_Other^MDC|||||F
 OBX|72|CWE|737984^MDC_IDC_STAT_EPISODE_VENDOR_TYPE^MDC|1|||||F
 OBX|73|NM|738000^MDC_IDC_STAT_EPISODE_RECENT_COUNT^MDC|1|2|||||F
 OBX|74|DTM|738017^MDC_IDC_STAT_EPISODE_RECENT_COUNT_DTM_START^MDC|1|20131125|||||F
 OBX|75|DTM|738018^MDC_IDC_STAT_EPISODE_RECENT_COUNT_DTM_END^MDC|1|20131126|||||F
 OBX|76|NM|738032^MDC_IDC_STAT_EPISODE_TOTAL_COUNT^MDC|1|8|||||F
 OBX|77|DTM|738049^MDC_IDC_STAT_EPISODE_TOTAL_COUNT_DTM_START^MDC|1|20131119|||||F
 OBX|78|DTM|738050^MDC_IDC_STAT_EPISODE_TOTAL_COUNT_DTM_END^MDC|1|20131126|||||F
 OBX|79|CWE|737952^MDC_IDC_STAT_EPISODE_TYPE^MDC|2|754881^MDC_IDC_ENUM_EPISODE_TYPE_Epi
 s_VF^MDC|||||F
 OBX|80|CWE|737984^MDC_IDC_STAT_EPISODE_VENDOR_TYPE^MDC|2|771073^MDC_IDC_ENUM_EPISODE_V
 ENDOR_TYPE_BSX-Epis_VF^MDC|||||F
 OBX|81|NM|738000^MDC_IDC_STAT_EPISODE_RECENT_COUNT^MDC|2|1|||||F
 OBX|82|DTM|738017^MDC_IDC_STAT_EPISODE_RECENT_COUNT_DTM_START^MDC|2|20131125|||||F
 OBX|83|DTM|738018^MDC_IDC_STAT_EPISODE_RECENT_COUNT_DTM_END^MDC|2|20131126|||||F
 OBX|84|NM|738032^MDC_IDC_STAT_EPISODE_TOTAL_COUNT^MDC|2|5|||||F
 OBX|85|DTM|738049^MDC_IDC_STAT_EPISODE_TOTAL_COUNT_DTM_START^MDC|2|20131119|||||F
 OBX|86|DTM|738050^MDC_IDC_STAT_EPISODE_TOTAL_COUNT_DTM_END^MDC|2|20131126|||||F
 OBX|87|CWE|731520^MDC_IDC_SET_TACHYTHERAPY_VSTAT^MDC||754817^MDC_IDC_ENUM_THERAPY_STAT
 US_On^MDC|||||F
 OBX|88|CWE|731648^MDC_IDC_SET_ZONE_TYPE^MDC|1|754945^MDC_IDC_ENUM_ZONE_TYPE_Zone_VF^MD
 C|||||F
 OBX|89|CWE|731712^MDC_IDC_SET_ZONE_VENDOR_TYPE^MDC|1|771139^MDC_IDC_ENUM_ZONE_VENDOR_T
 YPE_BSX-Zone_VF^MDC|||||F
 OBX|90|CWE|731776^MDC_IDC_SET_ZONE_STATUS^MDC|1|755009^MDC_IDC_ENUM_ZONE_STATUS_Active
 ^MDC|||||F
 OBX|91|NM|731840^MDC_IDC_SET_ZONE_DETECTION_INTERVAL^MDC|1|250|ms|||||F
 OBX|92|NM|732225^MDC_IDC_SET_ZONE_SHOCK_ENERGY_1^MDC|1|80|J|||||F
 OBX|93|CWE|731648^MDC_IDC_SET_ZONE_TYPE^MDC|2|754946^MDC_IDC_ENUM_ZONE_TYPE_Zone_VT^MD
 C|||||F
 OBX|94|CWE|731712^MDC_IDC_SET_ZONE_VENDOR_TYPE^MDC|2|771137^MDC_IDC_ENUM_ZONE_VENDOR_T
 YPE_BSX-Zone_VT^MDC|||||F
 OBX|95|CWE|731776^MDC_IDC_SET_ZONE_STATUS^MDC|2|755009^MDC_IDC_ENUM_ZONE_STATUS_Active
 ^MDC|||||F
 OBX|96|ST|732032^MDC_IDC_SET_ZONE_DETECTION_DETAILS^MDC|2|La Carga SMART se ha
 prolongado: 0.27 segundos|||||F
 OBX|97|NM|731840^MDC_IDC_SET_ZONE_DETECTION_INTERVAL^MDC|2|260|ms|||||F
 OBX|98|NM|732225^MDC_IDC_SET_ZONE_SHOCK_ENERGY_1^MDC|2|80|J|||||F
 OBX|99|CWE|720897^MDC_IDC_DEV_TYPE^MDC||753666^MDC_IDC_ENUM_DEV_TYPE_ICD^MDC|||||F
 OBX|100|ST|720898^MDC_IDC_DEV_MODEL^MDC||1010|||||F
 OBX|101|ST|720899^MDC_IDC_DEV_SERIAL^MDC||474|||||F
 OBX|102|CWE|720900^MDC_IDC_DEV_MFG^MDC||753732^MDC_IDC_ENUM_MFG_BSX^MDC|||||F
 OBX|103|DTM|720901^MDC_IDC_DEV_IMPLANT_DT^MDC||20131119|||||F
 OBX|104|ST|720961^MDC_IDC_LEAD_MODEL^MDC|1|3030|||||F
 OBX|105|ST|720962^MDC_IDC_LEAD_SERIAL^MDC|1|g032353|||||F
 OBX|106|CWE|720963^MDC_IDC_LEAD_MFG^MDC|1|753732^MDC_IDC_ENUM_MFG_BSX^MDC|||||F
 OBX|107|CWE|720966^MDC_IDC_LEAD_LOCATION^MDC|1|753861^MDC_IDC_ENUM_LEAD_LOCATION_CHAMB
 ER_OTHER^MDC|||||F
 OBX|108|CWE|720967^MDC_IDC_LEAD_LOCATION_DETAIL_1^MDC|1|753944^MDC_IDC_ENUM_LEAD_LOCAT
 ION_DETAIL_Subcutaneous^MDC|||||F
 OBX|109|NM|737824^MDC_IDC_STAT_TACHYTHERAPY_SHOCKS_DELIVERED_RECENT^MDC||2|||||F
 OBX|110|DTM|737937^MDC_IDC_STAT_TACHYTHERAPY_RECENT_DTM_START^MDC||20131125|||||F
 OBX|111|DTM|737938^MDC_IDC_STAT_TACHYTHERAPY_RECENT_DTM_END^MDC||20131126|||||F
 OBX|112|NM|737840^MDC_IDC_STAT_TACHYTHERAPY_SHOCKS_DELIVERED_TOTAL^MDC||9|||||F
 OBX|113|DTM|737921^MDC_IDC_STAT_TACHYTHERAPY_TOTAL_DTM_START^MDC||20131119|||||F
 OBX|114|DTM|737922^MDC_IDC_STAT_TACHYTHERAPY_TOTAL_DTM_END^MDC||20131126|||||F
 OBX|115|ED|18750-0^Cardiac Electrophysiology Report^LN||Application^PDF^^Base64{se
 incluirá un archivo PDF codificado aquí}|||||F||201311260000-0600

Ejemplo de mensaje 2: dispositivo no S-ICD



```
MSH|^~\&|LATITUDE Link|BOSTON SCIENTIFIC||The  
Clinic|201410091421+0000||ORU^R01^ORU_R01|55963301412864492365|P|2.6|||||UNICODE UTF-  
8|es^Spanish||IHE_PCD_009^IHE_PCD^1.3.6.1.4.1.19376.1.6.1.9.1^ISO  
PID|1||model:N118/serial:559633^^^BSX^U||TEST^SAMPLE||19530514|U  
PV1||R  
OBR|1||63|754050^MDC_IDC_ENUM_SESS_TYPE_InClinic^MDC|||201410081240|||||F  
NTE|1||oct 08, 2014 12:40 - El modo de antitaquicardia ventricular está establecido  
como un valor distinto de Monitor+Terapia  
OBX|1|DTM|721025^MDC_IDC_SESS_DTM^MDC||201410081240|||||F  
OBX|2|CWE|721026^MDC_IDC_SESS_TYPE^MDC||754050^MDC_IDC_ENUM_SESS_TYPE_InClinic^MDC|||  
||F  
OBX|3|ST|721033^MDC_IDC_SESS_CLINIC_NAME^MDC||The Clinic|||||F  
OBX|4|DTM|721216^MDC_IDC_MSMT_BATTERY_DTM^MDC||201410081240|||||F  
OBX|5|CWE|721280^MDC_IDC_MSMT_BATTERY_STATUS^MDC||754113^MDC_IDC_ENUM_BATTERY_STATUS_B  
OS^MDC|||||F  
OBX|6|NM|721472^MDC_IDC_MSMT_BATTERY_REMAINING_LONGEVITY^MDC||54|mo|||||F  
OBX|7|NM|721536^MDC_IDC_MSMT_BATTERY_REMAINING_PERCENTAGE^MDC||81|%|||||F  
OBX|8|DTM|721664^MDC_IDC_MSMT_CAP_CHARGE_DTM^MDC|1|201409291735|||||F  
OBX|9|NM|721728^MDC_IDC_MSMT_CAP_CHARGE_TIME^MDC|1|9.5|s|||||F  
OBX|10|CWE|721856^MDC_IDC_MSMT_CAP_CHARGE_TYPE^MDC|1|754178^MDC_IDC_ENUM_CHARGE_TYPE_R  
eformation^MDC|||||F  
OBX|11|DTM|721664^MDC_IDC_MSMT_CAP_CHARGE_DTM^MDC|2|201409171216|||||F  
OBX|12|NM|721728^MDC_IDC_MSMT_CAP_CHARGE_TIME^MDC|2|0.4|s|||||F  
OBX|13|NM|721792^MDC_IDC_MSMT_CAP_CHARGE_ENERGY^MDC|2|2|J|||||F  
OBX|14|CWE|721856^MDC_IDC_MSMT_CAP_CHARGE_TYPE^MDC|2|754177^MDC_IDC_ENUM_CHARGE_TYPE_S  
hock^MDC|||||F  
OBX|15|CWE|737952^MDC_IDC_STAT_EPISODE_TYPE^MDC|1|754881^MDC_IDC_ENUM_EPISODE_TYPE_Epi  
s_VF^MDC|||||F  
OBX|16|CWE|737984^MDC_IDC_STAT_EPISODE_VENDOR_TYPE^MDC|1|771073^MDC_IDC_ENUM_EPISODE_V  
ENDOR_TYPE_BSX-Epis_VF^MDC|||||F  
OBX|17|NM|738000^MDC_IDC_STAT_EPISODE_RECENT_COUNT^MDC|1|2|||||F  
OBX|18|DTM|738017^MDC_IDC_STAT_EPISODE_RECENT_COUNT_DTM_START^MDC|1|20140603|||||F  
OBX|19|DTM|738018^MDC_IDC_STAT_EPISODE_RECENT_COUNT_DTM_END^MDC|1|20141008|||||F  
OBX|20|CWE|737952^MDC_IDC_STAT_EPISODE_TYPE^MDC|2|754882^MDC_IDC_ENUM_EPISODE_TYPE_Epi  
s_VT^MDC|||||F  
OBX|21|CWE|737984^MDC_IDC_STAT_EPISODE_VENDOR_TYPE^MDC|2|771074^MDC_IDC_ENUM_EPISODE_V  
ENDOR_TYPE_BSX-Epis_VT^MDC|||||F  
OBX|22|NM|738000^MDC_IDC_STAT_EPISODE_RECENT_COUNT^MDC|2|0|||||F  
OBX|23|DTM|738017^MDC_IDC_STAT_EPISODE_RECENT_COUNT_DTM_START^MDC|2|20140603|||||F  
OBX|24|DTM|738018^MDC_IDC_STAT_EPISODE_RECENT_COUNT_DTM_END^MDC|2|20141008|||||F  
OBX|25|CWE|737952^MDC_IDC_STAT_EPISODE_TYPE^MDC|3|754882^MDC_IDC_ENUM_EPISODE_TYPE_Epi  
s_VT^MDC|||||F  
OBX|26|CWE|737984^MDC_IDC_STAT_EPISODE_VENDOR_TYPE^MDC|3|771075^MDC_IDC_ENUM_EPISODE_V  
ENDOR_TYPE_BSX-Epis_VT-1^MDC|||||F  
OBX|27|NM|738000^MDC_IDC_STAT_EPISODE_RECENT_COUNT^MDC|3|3|||||F  
OBX|28|DTM|738017^MDC_IDC_STAT_EPISODE_RECENT_COUNT_DTM_START^MDC|3|20140603|||||F  
OBX|29|DTM|738018^MDC_IDC_STAT_EPISODE_RECENT_COUNT_DTM_END^MDC|3|20141008|||||F  
OBX|30|CWE|737952^MDC_IDC_STAT_EPISODE_TYPE^MDC|4|754885^MDC_IDC_ENUM_EPISODE_TYPE_Epi  
s_Monitor^MDC|||||F  
OBX|31|CWE|737984^MDC_IDC_STAT_EPISODE_VENDOR_TYPE^MDC|4|||||F  
OBX|32|NM|738000^MDC_IDC_STAT_EPISODE_RECENT_COUNT^MDC|4|0|||||F  
OBX|33|DTM|738017^MDC_IDC_STAT_EPISODE_RECENT_COUNT_DTM_START^MDC|4|20140603|||||F  
OBX|34|DTM|738018^MDC_IDC_STAT_EPISODE_RECENT_COUNT_DTM_END^MDC|4|20141008|||||F  
OBX|35|CWE|737952^MDC_IDC_STAT_EPISODE_TYPE^MDC|5|754888^MDC_IDC_ENUM_EPISODE_TYPE_Epi  
s_Other^MDC|||||F  
OBX|36|CWE|737984^MDC_IDC_STAT_EPISODE_VENDOR_TYPE^MDC|5|||||F  
OBX|37|NM|738000^MDC_IDC_STAT_EPISODE_RECENT_COUNT^MDC|5|0|||||F  
OBX|38|DTM|738017^MDC_IDC_STAT_EPISODE_RECENT_COUNT_DTM_START^MDC|5|20140603|||||F  
OBX|39|DTM|738018^MDC_IDC_STAT_EPISODE_RECENT_COUNT_DTM_END^MDC|5|20141008|||||F  
OBX|40|CWE|737952^MDC_IDC_STAT_EPISODE_TYPE^MDC|6|754882^MDC_IDC_ENUM_EPISODE_TYPE_Epi
```

s_VT^MDC|||||F
OBX|41|CWE|737984^MDC_IDC_STAT_EPISODE_VENDOR_TYPE^MDC|6|771077^MDC_IDC_ENUM_EPISODE_V
ENDOR_TYPE_BSX-Epis_NSVT^MDC|||||F
OBX|42|NM|738000^MDC_IDC_STAT_EPISODE_RECENT_COUNT^MDC|6|0|||||F
OBX|43|DTM|738017^MDC_IDC_STAT_EPISODE_RECENT_COUNT_DTM_START^MDC|6|20140603|||||F
OBX|44|DTM|738018^MDC_IDC_STAT_EPISODE_RECENT_COUNT_DTM_END^MDC|6|20141008|||||F
OBX|45|CWE|737952^MDC_IDC_STAT_EPISODE_TYPE^MDC|7|754883^MDC_IDC_ENUM_EPISODE_TYPE_Epi
s_ATAF^MDC|||||F
OBX|46|CWE|737984^MDC_IDC_STAT_EPISODE_VENDOR_TYPE^MDC|7|771078^MDC_IDC_ENUM_EPISODE_V
ENDOR_TYPE_BSX-Epis_ATR^MDC|||||F
OBX|47|NM|738000^MDC_IDC_STAT_EPISODE_RECENT_COUNT^MDC|7|3|||||F
OBX|48|DTM|738017^MDC_IDC_STAT_EPISODE_RECENT_COUNT_DTM_START^MDC|7|20140603|||||F
OBX|49|DTM|738018^MDC_IDC_STAT_EPISODE_RECENT_COUNT_DTM_END^MDC|7|20141008|||||F
OBX|50|ED|18750-0^Cardiac Electrophysiology Report^LN||Application^PDF^^Base64^{se
incluirá un archivo PDF codificado aquí}|||||F||201410081240
OBX|51|CWE|731392^MDC_IDC_SET_BRADY_AT_MODE_SWITCH_MODE^MDC||754778^MDC_IDC_ENUM_BRADY
_MODE_VDI^MDC|||||F
OBX|52|NM|731456^MDC_IDC_SET_BRADY_AT_MODE_SWITCH_RATE^MDC||170|{beats}/min|||||F
OBX|53|NM|729344^MDC_IDC_SET_CRT_LVRV_DELAY^MDC||0|ms|||||F
OBX|54|CWE|729408^MDC_IDC_SET_CRT_PACED_CHAMBERS^MDC||755267^MDC_IDC_ENUM_CRT_PACED_CH
AMBERS_Biv^MDC|||||F
OBX|55|CWE|730752^MDC_IDC_SET_BRADY_MODE^MDC||754760^MDC_IDC_ENUM_BRADY_MODE_DDD^MDC||
|||||F
OBX|56|NM|730880^MDC_IDC_SET_BRADY_LOWRATE^MDC||65|{beats}/min|||||F
OBX|57|NM|731136^MDC_IDC_SET_BRADY_MAX_TRACKING_RATE^MDC||115|{beats}/min|||||F
OBX|58|NM|731265^MDC_IDC_SET_BRADY_SAV_DELAY_HIGH^MDC||80|ms|||||F
OBX|59|NM|731329^MDC_IDC_SET_BRADY_PAV_DELAY_HIGH^MDC||130|ms|||||F
OBX|60|CWE|731520^MDC_IDC_SET_TACHYTHERAPY_VSTAT^MDC||754818^MDC_IDC_ENUM_THERAPY_STAT
US_Off^MDC|||||F
OBX|61|CWE|731648^MDC_IDC_SET_ZONE_TYPE^MDC|1|754945^MDC_IDC_ENUM_ZONE_TYPE_Zone_VF^MD
C|||||F
OBX|62|CWE|731712^MDC_IDC_SET_ZONE_VENDOR_TYPE^MDC|1|771139^MDC_IDC_ENUM_ZONE_VENDOR_T
YPE_BSX-Zone_VF^MDC|||||F
OBX|63|CWE|731776^MDC_IDC_SET_ZONE_STATUS^MDC|1|755011^MDC_IDC_ENUM_ZONE_STATUS_Monito
r^MDC|||||F
OBX|64|NM|731840^MDC_IDC_SET_ZONE_DETECTION_INTERVAL^MDC|1|300|ms|||||F
OBX|65|CWE|731648^MDC_IDC_SET_ZONE_TYPE^MDC|2|754946^MDC_IDC_ENUM_ZONE_TYPE_Zone_VT^MD
C|||||F
OBX|66|CWE|731712^MDC_IDC_SET_ZONE_VENDOR_TYPE^MDC|2|771137^MDC_IDC_ENUM_ZONE_VENDOR_T
YPE_BSX-Zone_VT^MDC|||||F
OBX|67|CWE|731776^MDC_IDC_SET_ZONE_STATUS^MDC|2|755011^MDC_IDC_ENUM_ZONE_STATUS_Monito
r^MDC|||||F
OBX|68|NM|731840^MDC_IDC_SET_ZONE_DETECTION_INTERVAL^MDC|2|375|ms|||||F
OBX|69|CWE|731648^MDC_IDC_SET_ZONE_TYPE^MDC|3|754946^MDC_IDC_ENUM_ZONE_TYPE_Zone_VT^MD
C|||||F
OBX|70|CWE|731712^MDC_IDC_SET_ZONE_VENDOR_TYPE^MDC|3|771138^MDC_IDC_ENUM_ZONE_VENDOR_T
YPE_BSX-Zone_VT-1^MDC|||||F
OBX|71|CWE|731776^MDC_IDC_SET_ZONE_STATUS^MDC|3|755011^MDC_IDC_ENUM_ZONE_STATUS_Monito
r^MDC|||||F
OBX|72|NM|731840^MDC_IDC_SET_ZONE_DETECTION_INTERVAL^MDC|3|429|ms|||||F
OBX|73|NM|729536^MDC_IDC_SET_LEADCHNL_RA_SENSING_SENSITIVITY^MDC||0.25|mV|||||F
OBX|74|CWE|729920^MDC_IDC_SET_LEADCHNL_RA_SENSING_ADAPTATION_MODE^MDC||754625^MDC_IDC_
ENUM_SENSING_ADAPTATION_MODE_AdaptiveSensing^MDC|||||F
OBX|75|CWE|729600^MDC_IDC_SET_LEADCHNL_RA_SENSING_POLARITY^MDC||754306^MDC_IDC_ENUM_PO
LARITY_BI^MDC|||||F
OBX|76|NM|729537^MDC_IDC_SET_LEADCHNL_RV_SENSING_SENSITIVITY^MDC||0.6|mV|||||F
OBX|77|CWE|729921^MDC_IDC_SET_LEADCHNL_RV_SENSING_ADAPTATION_MODE^MDC||754625^MDC_IDC_
ENUM_SENSING_ADAPTATION_MODE_AdaptiveSensing^MDC|||||F
OBX|78|CWE|729601^MDC_IDC_SET_LEADCHNL_RV_SENSING_POLARITY^MDC||754306^MDC_IDC_ENUM_PO
LARITY_BI^MDC|||||F
OBX|79|NM|729539^MDC_IDC_SET_LEADCHNL_LV_SENSING_SENSITIVITY^MDC||1.0|mV|||||F
OBX|80|CWE|729923^MDC_IDC_SET_LEADCHNL_LV_SENSING_ADAPTATION_MODE^MDC||754625^MDC_IDC_

ENUM_SENSING_ADAPTATION_MODE_AdaptiveSensing^MDC|||||F
OBX|81|CWE|729676^MDC_IDC_SET_LEADCHNL_LV_SENSING_ANODE_LOCATION^MDC||754498^MDC_IDC_EN
NUM_ELECTRODE_LOCATION_RV^MDC|||||F
OBX|82|CWE|729804^MDC_IDC_SET_LEADCHNL_LV_SENSING_CATHODE_LOCATION^MDC||754500^MDC_IDC
_ENUM_ELECTRODE_LOCATION_LV^MDC|||||F
OBX|83|CWE|729868^MDC_IDC_SET_LEADCHNL_LV_SENSING_CATHODE_ELECTRODE^MDC||754561^MDC_ID
C_ENUM_ELECTRODE_NAME_Tip^MDC|||||F
OBX|84|NM|729984^MDC_IDC_SET_LEADCHNL_RA_PACING_AMPLITUDE^MDC||2.5|V|||||F
OBX|85|NM|730048^MDC_IDC_SET_LEADCHNL_RA_PACING_PULSEWIDTH^MDC||0.4|ms|||||F
OBX|86|CWE|730112^MDC_IDC_SET_LEADCHNL_RA_PACING_POLARITY^MDC||754306^MDC_IDC_ENUM_POL
ARITY_BI^MDC|||||F
OBX|87|NM|729985^MDC_IDC_SET_LEADCHNL_RV_PACING_AMPLITUDE^MDC||2.5|V|||||F
OBX|88|NM|730049^MDC_IDC_SET_LEADCHNL_RV_PACING_PULSEWIDTH^MDC||0.4|ms|||||F
OBX|89|CWE|730113^MDC_IDC_SET_LEADCHNL_RV_PACING_POLARITY^MDC||754306^MDC_IDC_ENUM_POL
ARITY_BI^MDC|||||F
OBX|90|NM|729987^MDC_IDC_SET_LEADCHNL_LV_PACING_AMPLITUDE^MDC||2.5|V|||||F
OBX|91|NM|730051^MDC_IDC_SET_LEADCHNL_LV_PACING_PULSEWIDTH^MDC||0.4|ms|||||F
OBX|92|CWE|730188^MDC_IDC_SET_LEADCHNL_LV_PACING_ANODE_LOCATION^MDC||754498^MDC_IDC_EN
UM_ELECTRODE_LOCATION_RV^MDC|||||F
OBX|93|CWE|730316^MDC_IDC_SET_LEADCHNL_LV_PACING_CATHODE_LOCATION^MDC||754500^MDC_IDC_
ENUM_ELECTRODE_LOCATION_LV^MDC|||||F
OBX|94|CWE|730380^MDC_IDC_SET_LEADCHNL_LV_PACING_CATHODE_ELECTRODE^MDC||754561^MDC_IDC
_ENUM_ELECTRODE_NAME_Tip^MDC|||||F
OBX|95|CWE|720897^MDC_IDC_DEV_TYPE^MDC||753667^MDC_IDC_ENUM_DEV_TYPE_CRT_D^MDC|||||F
OBX|96|ST|720898^MDC_IDC_DEV_MODEL^MDC||N118|||||F
OBX|97|ST|720899^MDC_IDC_DEV_SERIAL^MDC||559633|||||F
OBX|98|CWE|720900^MDC_IDC_DEV_MFG^MDC||753732^MDC_IDC_ENUM_MFG_BSX^MDC|||||F
OBX|99|DTM|720901^MDC_IDC_DEV_IMPLANT_DT^MDC||20081009|||||F
OBX|100|DTM|721921^MDC_IDC_MSMT_LEADCHNL_RA_DTM_START^MDC||20141008|||||F
OBX|101|NM|722051^MDC_IDC_MSMT_LEADCHNL_RA_SENSING_INTR_AMPL_MEAN^MDC||3.0|mV|||||F|||
20141008
OBX|102|CWE|722112^MDC_IDC_MSMT_LEADCHNL_RA_SENSING_POLARITY^MDC||754306^MDC_IDC_ENUM_
POLARITY_BI^MDC|||||F
OBX|103|NM|722176^MDC_IDC_MSMT_LEADCHNL_RA_PACING_THRESHOLD_AMPLITUDE^MDC||1.3|V|||||F
||20141008
OBX|104|NM|722240^MDC_IDC_MSMT_LEADCHNL_RA_PACING_THRESHOLD_PULSEWIDTH^MDC||0.4|ms|||
|F||20141008
OBX|105|CWE|722304^MDC_IDC_MSMT_LEADCHNL_RA_PACING_THRESHOLD_MEASUREMENT_METHOD^MDC||7
54369^MDC_IDC_ENUM_MEASUREMENT_METHOD_ProgrammerManual^MDC|||||F
OBX|106|CWE|722368^MDC_IDC_MSMT_LEADCHNL_RA_PACING_THRESHOLD_POLARITY^MDC||754306^MDC_
IDC_ENUM_POLARITY_BI^MDC|||||F
OBX|107|NM|722432^MDC_IDC_MSMT_LEADCHNL_RA_IMPEDANCE_VALUE^MDC||544|ohms|||F||20141
008
OBX|108|CWE|722496^MDC_IDC_MSMT_LEADCHNL_RA_IMPEDANCE_POLARITY^MDC||754306^MDC_IDC_ENU
M_POLARITY_BI^MDC|||||F
OBX|109|DTM|721925^MDC_IDC_MSMT_LEADCHNL_RV_DTM_START^MDC||20141008|||||F
OBX|110|NM|722055^MDC_IDC_MSMT_LEADCHNL_RV_SENSING_INTR_AMPL_MEAN^MDC||5.6|mV|||||F|||
20141008
OBX|111|CWE|722113^MDC_IDC_MSMT_LEADCHNL_RV_SENSING_POLARITY^MDC||754306^MDC_IDC_ENUM_
POLARITY_BI^MDC|||||F
OBX|112|NM|722177^MDC_IDC_MSMT_LEADCHNL_RV_PACING_THRESHOLD_AMPLITUDE^MDC||1.7|V|||||F
||20141008
OBX|113|NM|722241^MDC_IDC_MSMT_LEADCHNL_RV_PACING_THRESHOLD_PULSEWIDTH^MDC||0.4|ms|||
|F||20141008
OBX|114|CWE|722305^MDC_IDC_MSMT_LEADCHNL_RV_PACING_THRESHOLD_MEASUREMENT_METHOD^MDC||7
54369^MDC_IDC_ENUM_MEASUREMENT_METHOD_ProgrammerManual^MDC|||||F
OBX|115|CWE|722369^MDC_IDC_MSMT_LEADCHNL_RV_PACING_THRESHOLD_POLARITY^MDC||754306^MDC_
IDC_ENUM_POLARITY_BI^MDC|||||F
OBX|116|NM|722433^MDC_IDC_MSMT_LEADCHNL_RV_IMPEDANCE_VALUE^MDC||494|ohms|||||F||20141
008
OBX|117|CWE|722497^MDC_IDC_MSMT_LEADCHNL_RV_IMPEDANCE_POLARITY^MDC||754306^MDC_IDC_ENU
M_POLARITY_BI^MDC|||||F

OBX|118|DTM|721933^MDC_IDC_MSMT_LEADCHNL_LV_DTM_START^MDC||20141008|||||F
 OBX|119|NM|722063^MDC_IDC_MSMT_LEADCHNL_LV_SENSING_INTR_AMPL_MEAN^MDC||mV||NAV|||F||
 20141008
 OBX|120|CWE|722115^MDC_IDC_MSMT_LEADCHNL_LV_SENSING_POLARITY^MDC||754305^MDC_IDC_ENUM_
 POLARITY_UNI^MDC|||||F
 OBX|121|NM|722179^MDC_IDC_MSMT_LEADCHNL_LV_PACING_THRESHOLD_AMPLITUDE^MDC||1.8|V|||||F
 |||20141008
 OBX|122|NM|722243^MDC_IDC_MSMT_LEADCHNL_LV_PACING_THRESHOLD_PULSEWIDTH^MDC||0.4|ms||||
 |F|||20141008
 OBX|123|CWE|722307^MDC_IDC_MSMT_LEADCHNL_LV_PACING_THRESHOLD_MEASUREMENT_METHOD^MDC||7
 54369^MDC_IDC_ENUM_MEASUREMENT_METHOD_ProgrammerManual^MDC|||||F
 OBX|124|CWE|722371^MDC_IDC_MSMT_LEADCHNL_LV_PACING_THRESHOLD_POLARITY^MDC||754305^MDC_
 IDC_ENUM_POLARITY_UNI^MDC|||||F
 OBX|125|NM|722435^MDC_IDC_MSMT_LEADCHNL_LV_IMPEDANCE_VALUE^MDC||604|ohms|||||F|||20141
 008
 OBX|126|CWE|722499^MDC_IDC_MSMT_LEADCHNL_LV_IMPEDANCE_POLARITY^MDC||754305^MDC_IDC_ENU
 M_POLARITY_UNI^MDC|||||F
 OBX|127|DTM|722560^MDC_IDC_MSMT_LEADHVCHNL_DTM_START^MDC||1|20141008|||||F
 OBX|128|NM|722624^MDC_IDC_MSMT_LEADHVCHNL_IMPEDANCE^MDC||1|55|ohms|||||F
 OBX|129|CWE|722688^MDC_IDC_MSMT_LEADHVCHNL_MEASUREMENT_TYPE^MDC||1|754433^MDC_IDC_ENUM_
 HVCHNL_MEASUREMENT_TYPE_LowVoltage^MDC|||||F
 OBX|130|DTM|737489^MDC_IDC_STAT_DTM_START^MDC||20140603|||||F
 OBX|131|DTM|737490^MDC_IDC_STAT_DTM_END^MDC||20141008|||||F
 OBX|132|DTM|737505^MDC_IDC_STAT_BRADY_DTM_START^MDC||20140603|||||F
 OBX|133|DTM|737506^MDC_IDC_STAT_BRADY_DTM_END^MDC||20141008|||||F
 OBX|134|NM|737520^MDC_IDC_STAT_BRADY_RA_PERCENT_PACED^MDC||1|%|||||F
 OBX|135|NM|737536^MDC_IDC_STAT_BRADY_RV_PERCENT_PACED^MDC||100|%|||||F
 OBX|136|DTM|737777^MDC_IDC_STAT_CRT_DTM_START^MDC||20140603|||||F
 OBX|137|DTM|737778^MDC_IDC_STAT_CRT_DTM_END^MDC||20141008|||||F
 OBX|138|NM|737792^MDC_IDC_STAT_CRT_LV_PERCENT_PACED^MDC||100|%|||||F
 OBX|139|DTM|737665^MDC_IDC_STAT_AT_DTM_START^MDC||20140605|||||F
 OBX|140|DTM|737666^MDC_IDC_STAT_AT_DTM_END^MDC||20141008|||||F
 OBX|141|NM|737696^MDC_IDC_STAT_AT_BURDEN_PERCENT^MDC||1|%|<|||||F
 OBX|142|DTM|737937^MDC_IDC_STAT_TACHYTHERAPY_RECENT_DTM_START^MDC||20140603|||||F
 OBX|143|DTM|737938^MDC_IDC_STAT_TACHYTHERAPY_RECENT_DTM_END^MDC||20141008|||||F
 OBX|144|NM|737824^MDC_IDC_STAT_TACHYTHERAPY_SHOCKS_DELIVERED_RECENT^MDC||3|||||F
 OBX|145|DTM|737921^MDC_IDC_STAT_TACHYTHERAPY_TOTAL_DTM_START^MDC||20081009|||||F
 OBX|146|DTM|737922^MDC_IDC_STAT_TACHYTHERAPY_TOTAL_DTM_END^MDC||20141008|||||F
 OBX|147|NM|737840^MDC_IDC_STAT_TACHYTHERAPY_SHOCKS_DELIVERED_TOTAL^MDC||53|||||F
 OBX|148|NM|737856^MDC_IDC_STAT_TACHYTHERAPY_SHOCKS_ABORTED_RECENT^MDC||1|||||F
 OBX|149|NM|737872^MDC_IDC_STAT_TACHYTHERAPY_SHOCKS_ABORTED_TOTAL^MDC||5|||||F
 OBX|150|NM|737888^MDC_IDC_STAT_TACHYTHERAPY_ATP_DELIVERED_RECENT^MDC||3|||||F
 OBX|151|NM|737904^MDC_IDC_STAT_TACHYTHERAPY_ATP_DELIVERED_TOTAL^MDC||35|||||F

Definición de los símbolos utilizados en este manual

	Fabricante
	Representante autorizado en la Comunidad Europea

Outdated version. Do not use.
Version überholt. Nicht verwenden.
Version obsolète. Ne pas utiliser.
Versión obsoleta. No utilizar.
Versione obsoleta. Non utilizzare.
Verouderde versie. Niet gebruiken.
Föråldrad version. Använd ej.
Παλιά έκδοση. Μην την χρησιμοποιείτε.
Versão obsoleta. Não utilize.
Forældet version. Må ikke anvendes.
Zastaralá verze. Nepoužívat.
Utdatert versjon. Skal ikke brukes.
Zastaraná verzia. Nepoužívať.
Elavult verzió. Ne használja!
Wersja nieaktualna. Nie używać.

Outdated version. Do not use.
Version überholt. Nicht verwenden.
Version obsolète. Ne pas utiliser.
Versión obsoleta. No utilizar.
Versione obsoleta. Non utilizzare.
Verouderde versie. Niet gebruiken.
Föråldrad version. Använd ej.
Παλιά έκδοση. Μην την χρησιμοποιείτε.
Versão obsoleta. Não utilize.
Forældet version. Må ikke anvendes.
Zastaralá verze. Nepoužívat.
Utdatert versjon. Skal ikke brukes.
Zastaraná verzia. Nepoužívať.
Elavult verzió. Ne használja!
Wersja nieaktualna. Nie używać.

Outdated version. Do not use.
Version überholt. Nicht verwenden.
Version obsolète. Ne pas utiliser.
Versión obsoleta. No utilizar.
Versione obsoleta. Non utilizzare.
Verouderde versie. Niet gebruiken.
Föråldrad version. Använd ej.
Παλιά έκδοση. Μην την χρησιμοποιείτε.
Versão obsoleta. Não utilize.
Forældet version. Må ikke anvendes.
Zastaralá verze. Nepoužívat.
Utdatert versjon. Skal ikke brukes.
Zastaraná verzia. Nepoužívať.
Elavult verzió. Ne használja!
Wersja nieaktualna. Nie używać.

Boston Scientific



Boston Scientific
4100 Hamline Avenue North
St. Paul, MN 55112-5798 USA

1.800.CARDIAC (227.3422)
+1.651.582.4000

www.bostonscientific.com



Guidant Europe NV/SA
Boston Scientific
Green Square,
Lambroekstraat 5D
1831 Diegem, Belgium

1.800.CARDIAC (227.3422)
+1.651.582.4000

www.bostonscientific.com

© 2014 Boston Scientific Corporation or its affiliates.
All rights reserved.

359384-004 ES 2014-08

